

УДК 539.194.01

**ПРОЦЕССЫ ИНТЕРКОМБИНАЦИОННОЙ КОНВЕРСИИ
С УЧАСТИЕМ ВЫСОКОВОЗБУЖДЕННЫХ ЭЛЕКТРОННЫХ СОСТОЯНИЙ
АРОМАТИЧЕСКИХ МОЛЕКУЛ¹**

Майер Г. В., Карыпов А. В., Базыль О. К., Артюхов В. Я.

На основе квантово-химических расчетов схем электронно-возбужденных состояний и спин-орбитального взаимодействия дана теоретическая интерпретация эффекта усиления эффективности конверсии $S \rightarrow T$ при возбуждении в высшие электронные состояния и эффекта инициированной триплет-триплетным поглощением флуоресценции $S_1 \rightarrow S_0$.

В последнее время значительно повысился интерес к высоковозбужденным электронным состояниям органических молекул, получен ряд данных о процессах радиационного распада и безызлучательной дезактивации. В [1-3] исследована люминесценция из высших электронных состояний, определены абсолютные квантовые выходы флуоресценции и константы скоростей внутренней конверсии. Получены новые экспериментальные результаты о процессах интеркомбинационной конверсии. В [4] экспериментально установлен факт значительного увеличения скорости конверсии $S \rightarrow T$ при возбуждении высших синглетных состояний родаминов и тетрахлорфлуоресцина. В [5] для перилена, антрацена и 3,6-диаминофталимида в конденсированной фазе была обнаружена флуоресценция $S_1 \rightarrow S_0$, инициированная триплет-триплетным поглощением. В то же время этот эффект не был обнаружен для молекул 1,2-бензантрацена, хризена и РОРОР. Авторы [5] связывают наличие инициированной поглощением $T_1 \rightarrow T$ флуоресценции $S_1 \rightarrow S_0$ с «обратной» конверсией $T_1 \rightarrow S_1$.

Однако теоретических исследований процессов интеркомбинационной конверсии с участием высоковозбужденных электронных состояний не проводилось, и теоретическая интерпретация этих эффектов отсутствует. Ясно, что для понимания процессов интеркомбинационной конверсии в таких ситуациях необходимо иметь полную схему электронно-возбужденных состояний различной орбитальной природы и мультиплетности и численные значения величин спин-орбитального взаимодействия, необходимые для оценки эффективности процессов интеркомбинационной конверсии.

Расчеты схем электронно-возбужденных состояний проведены методом ЧПДП/С [6], матричные элементы оператора спин-орбитального взаимодействия вычислялись согласно [7].

На рисунке приведен типичный вид схемы электронно-возбужденных состояний в ароматических молекулах, обобщающий результат проведенных расчетов и указывающий на принципиальную особенность, а именно наличие триплетных состояний σ - и $\pi\sigma$ -типа, расположенных по энергии между синглетными $\pi\pi$ -состояниями, переходы в которые из S_0 -состояния формируют длинноволновую и коротковолновую полосы поглощения красителей. Отметим, что, как правило, вблизи высшего $S_{\pi\pi}$ -состояния расположено $S_{\sigma\pi}$ -состояние, связанное сильным спин-орбитальным взаимодействием с нижележащим $T_{\sigma\pi}$ -состоянием.

¹ Доложено на Всесоюзной конференции «Инверсная заселенность и генерация на переходах в атомах и молекулах» (г. Томск, сент. 1986 г.).

**Энергии электронных синглетных (E_1 , E_4) и триплетных (E_2 , E_3) состояний
и величины спин-орбитального взаимодействия (V_1 , V_2)**

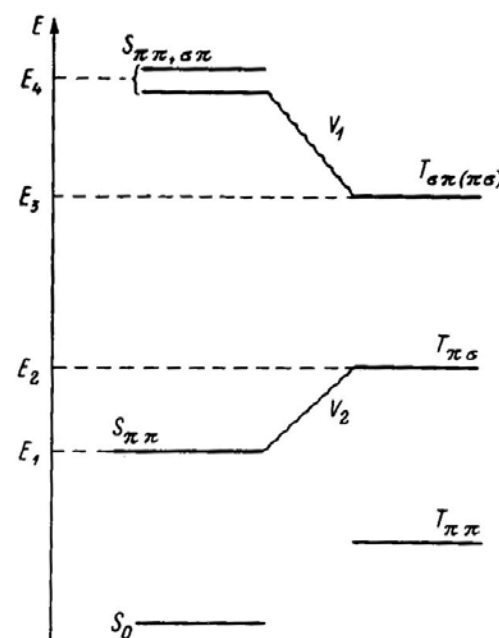
Соединение	E_1 , см ⁻¹	E_4 , см ⁻¹	E_3 , см ⁻¹	E_2 , см ⁻¹	V_1 , см ⁻¹	V_2 , см ⁻¹
Нафталин	32600	51000	47400	37800	20.60	0.34
Антрацен	28000	47000	42600	33800	21.65	1.61
Перилен	24100	43500	40800	35450	22.79	3.47
Хризен	29900	48200	46200	39000	21.98	1.05
1,2-бензантрацен	29700	39300	37600	35700	2.38	0.40
Пара-терфенил	35200	49900	48500	38600	3.34	3.10
3,6-диаминофталимида	27300	50220	49100	29700	5.90	18.30
Родамин незамещен- ный	20100	35000	20500	24200	12.80	10.07

В таблице приведены энергетические положения электронных состояний, участвующие в процессах дезактивации, и соответствующие величины спин-орбитального взаимодействия.

Известно, что величина спин-орбитального взаимодействия $\pi\pi$ -состояний составляет ~ 0.3 см⁻¹, что приводит к максимальным значениям константы скорости $k_{ST} \approx 10^9$ см⁻¹ [8]. Ясно, что значительно большие значения спин-орбитального взаимодействия, достигающие (см. таблицу) единиц и десятков обратных сантиметров, будут приводить к значениям k_{ST} , на порядки превышающие таковые для $\pi\pi$ -состояний и конкурирующие с процессами внутренней конверсии и колебательной релаксации (в том числе и с процессами внутримолекулярного колебательного перераспределения). Это означает, что при оптическом возбуждении в высокие электронные состояния, взаимодействующие с $T_{\pi\sigma(\sigma\pi)}$ -состояниями, должно происходить существенное увеличение эффективности конверсии $S \rightsquigarrow T$, и это явление носит общий характер. Как следует из таблицы, оно будет наиболее заметно проявляться (кроме родаминов) в перилене, нафталине, антрацене, хризене, 3,6-диаминофталимиде.

Вообще говоря, из общих соображений известно [8], что величина спин-орбитального взаимодействия $\pi\pi$ - и $\sigma\pi$ ($\pi\sigma$)-состояний достигает величины единиц обратных сантиметров. Проведенные расчеты позволили выяснить любопытную деталь: имеет место существенное влияние молекулярного строения на значение матричных элементов оператора спин-орбитального взаимодействия $\pi\pi$ - и $\pi\sigma$ ($\sigma\pi$)-состояний. Анализ коэффициентов разложения волновых функций электронных состояний по конфигурациям и молекулярных орбиталей по атомным показывает, что, например, в молекулах хризена и 1,2-бензантрацена $S_{\pi\pi}$ - и $T_{\pi\sigma}$ -состояния в целом пространственно локализованы преимущественно на разных фрагментах молекул, что приводит к малому пространственному перекрыванию соответствующих π - и σ -молекулярных орбиталей и соответственно к малым значениям спин-орбитального взаимодействия. Подобным образом легко объясняются случаи различной величины спин-орбитального взаимодействия в других рассматриваемых соединениях.

Здесь кроется объяснение инициированной поглощением $T_1 \rightarrow T$ флуоресценции $S_1 \rightarrow S_0$. Из таблицы видно, что спин-орбитальное взаимодействие нижнего $T_{\pi\sigma}$ -состояния (в случае 3,6-диаминофталимида $T_{\pi\pi}$) и $S_{1\pi\pi}$ -состояния в молекулах перилена, антрацена и 3,6-диаминофталимида превышает таковое



для молекул хризена и 1,2-бензантрацена, что и дает теоретическую интерпретацию обнаруженного авторами [6] эффекта. Отсутствие инициированной флуоресценции в молекуле РОРОР объясняется высоким энергетическим положением $T_{\pi\pi}$ -состояния [9].

Следует отметить, что эффект инициированной триплет-триплетным поглощением флуоресценции $S_1 \rightarrow S_0$ также имеет общий характер и может иметь место и в других органических соединениях, в частности в пара-терфениле и родамине (см. таблицу).

Таким образом, спин-орбитальное взаимодействие в ароматических молекулах имеет сложный «перекрестный» характер и в значительной мере определяет особенности спектрально-люминесцентных свойств при возбуждении в высшие электронные состояния; возможно, что в определенных случаях процессы дезактивации высших синглетных состояний протекают преимущественно по каналам $S_i \rightsquigarrow T_j \rightsquigarrow S_1$, минуя некоторые возбужденные синглетные состояния.

Литература

- [1] Ермолаев В. Л., Любимцев В. А. — Изв. АН СССР. Сер. физ., 1983, т. 47, № 7, с. 1405—1409.
- [2] Ермолаев В. Л., Любимцев В. А. — Опт. и спектр., 1984, т. 56, в. 6, с. 1026—1032.
- [3] Ермолаев В. Л., Любимцев В. А. — Опт. и спектр., 1986, т. 60, в. 1, с. 74—82.
- [4] Рыльков В. В., Чешев Е. А. — В кн.: V Всесоюз. совещ. по фотохимии. М., 1985, с. 119.
- [5] Болотько Л. М., Дорохин А. В., Суходола А. А. — В кн.: Инверсная заселенность и генерация на переходах в атомах и молекулах. Томск, 1986, с. 141.
- [6] Артюхов В. Я., Галеева А. И. — Изв. вузов СССР. Физика. 1986, № 11, с. 96—100.
- [7] Майер Г. В., Артюхов В. Я. — Деп. в ВИНТИ 18.08.86, № 5930-В-86 деп.
- [8] Плотников В. Г. — Успехи химии, 1980, т. 49, с. 327—361.
- [9] Майер Г. В., Галеева А. И. — Опт. и спектр., 1984, т. 57, в. 5, с. 858—862.

Поступило в Редакцию 10 июня 1987 г.